

Ultimo aggiornamento delle informazioni: Ottobre 2024

Configurazione di prodotto: QG53

QG53: corpo piccolo - neutral White - DALI - ottica wide flood



Codice prodotto

QG53: corpo piccolo - neutral White - DALI - ottica wide flood

Descrizione tecnica

Proiettore orientabile con adattatore per installazione su binario tensione di rete per sorgente LED ad alta resa con emissione monocromatica in tonalità Neutral White (4000K). Alimentatore DALI integrato all'interno del prodotto. L'apparecchio è realizzato in pressofusione di alluminio e materiale termoplastico, permette una rotazione di 360° attorno all'asse verticale e un'inclinazione di 90° rispetto al piano orizzontale, è dotato di blocchi meccanici del puntamento, per entrambi movimenti, e si attua agendo con uno stesso utensile su due viti, una lateralmente all'asta e una sull'adattatore a binario. Dissipazione del calore passiva. Proiettore atto a contenere fino a due accessori piani contemporaneamente. È possibile inoltre l'applicazione di un ulteriore componente esterno a scelta tra alette direzionali e schermo antiabbagliamento. Tutti gli accessori esterni sono ruotabili di 360° rispetto all'asse longitudinale del proiettore.

Installazione

A binario elettrificato su apposita basetta

Colore

Bianco (01) | Nero (04)

Peso (Kg)

1.28

Montaggio

binario trifase

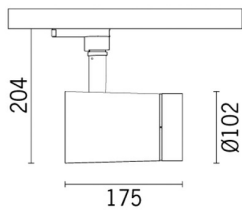
Cablaggio

Componentistica DALI contenuta all'interno dell'apparecchio

Sistemi di controllo compatibili:

- Quick BLE - Bluetooth Low Energy [↗](#)
- Quick DALI - Touch display 7" [↗](#)
- Quick DALI LMS Quick [↗](#)
- Master Pro Evo KNX [↗](#)

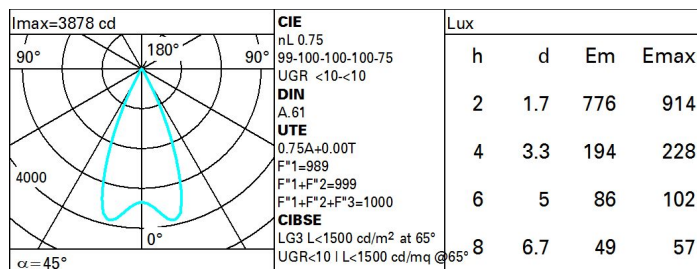
Soddisfa EN60598-1 e relative note



Dati tecnici

| | | | |
|--|------|--|--|
| Im di sistema: | 2036 | Life Time LED 1: | > 50,000h - L90 - B10 (Ta 25°C) |
| W di sistema: | 28.5 | Codice lampada: | LED |
| Im di sorgente: | 2700 | Numero di lampade per vano ottico: | 1 |
| W di sorgente: | 26 | Codice ZVEI: | LED |
| Efficienza luminosa (lm/W, dati di sistema): | 71.4 | Numero di vani ottici: | 1 |
| Im in modalità emergenza: | - | Power factor: | Vedi istruzioni di installazione |
| Flusso totale emesso a 90° o superiore [Lm]: | 0 | Corrente di spunto (in-rush): | 18 A / 250 µs |
| Light Output Ratio (L.O.R.) [%]: | 75 | Massimo numero di apparecchi collegabili a ogni interruttore automatico: | B10A: 21 apparecchi B16A: 34 apparecchi C10A: 35 apparecchi C16A: 57 apparecchi |
| Angolo di apertura [°]: | 46° | % minima di dimmerazione: | 1 |
| CRI (minimo): | 97 | Protezione alle sovratensioni: | 2kV Modo comune e 1kV Modo differenziale |
| Temperatura colore [K]: | 4000 | Control: | DALI-2 |
| MacAdam Step: | 2 | | |

Polare



Coefficienti di utilizzazione

| R | 77 | 75 | 73 | 71 | 55 | 53 | 33 | 00 | DRR |
|------|----|----|----|----|----|----|----|----|-----|
| K0.8 | 68 | 64 | 62 | 60 | 64 | 61 | 61 | 59 | 78 |
| 1.0 | 71 | 68 | 65 | 64 | 67 | 65 | 65 | 62 | 82 |
| 1.5 | 74 | 72 | 70 | 69 | 71 | 69 | 69 | 67 | 88 |
| 2.0 | 77 | 75 | 74 | 72 | 74 | 73 | 72 | 70 | 93 |
| 2.5 | 78 | 77 | 76 | 75 | 76 | 75 | 74 | 72 | 95 |
| 3.0 | 79 | 78 | 77 | 77 | 77 | 76 | 75 | 74 | 97 |
| 4.0 | 80 | 79 | 79 | 78 | 78 | 78 | 77 | 75 | 99 |
| 5.0 | 81 | 80 | 80 | 79 | 79 | 78 | 77 | 75 | 100 |

Curva limite di luminanza

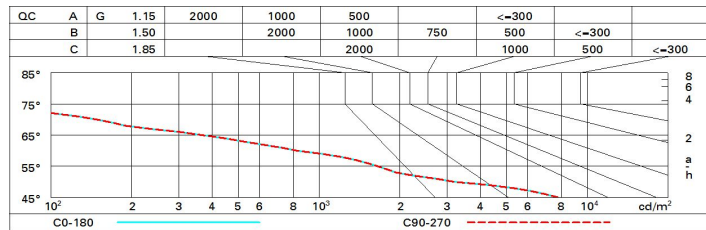


Diagramma UGR

| Corrected UGR values (at 2700 lm bare lamp luminous flux) | | | | | | | | | | | | |
|---|------|------|------|------------------|------|------|------|----------------|---------|------|------|--|
| Reflect.: | | | | | | | | | | | | |
| ceil/cav | | 0.70 | 0.70 | 0.50 | 0.50 | 0.30 | 0.70 | 0.70 | 0.50 | 0.50 | 0.30 | |
| walls | | 0.50 | 0.30 | 0.50 | 0.30 | 0.30 | 0.50 | 0.30 | 0.50 | 0.30 | 0.30 | |
| work pl. | | 0.20 | 0.20 | 0.20 | 0.20 | 0.20 | 0.20 | 0.20 | 0.20 | 0.20 | 0.20 | |
| Room dim | | | | | | | | | | | | |
| x | y | | | viewed crosswise | | | | viewed endwise | | | | |
| 2H | 2H | 8.9 | 9.4 | 9.1 | 9.7 | 9.9 | 8.9 | 9.4 | 9.1 | 9.7 | 9.9 | |
| | 3H | 8.7 | 9.3 | 9.0 | 9.5 | 9.8 | 8.7 | 9.3 | 9.0 | 9.5 | 9.8 | |
| | 4H | 8.7 | 9.1 | 9.0 | 9.4 | 9.7 | 8.7 | 9.2 | 9.0 | 9.4 | 9.7 | |
| | 6H | 8.6 | 9.0 | 8.9 | 9.3 | 9.7 | 8.6 | 9.0 | 8.9 | 9.4 | 9.7 | |
| | 8H | 8.5 | 9.0 | 8.9 | 9.3 | 9.6 | 8.6 | 9.0 | 8.9 | 9.3 | 9.6 | |
| | 12H | 8.5 | 8.9 | 8.9 | 9.3 | 9.6 | 8.5 | 8.9 | 8.9 | 9.3 | 9.6 | |
| 4H | 2H | 8.7 | 9.2 | 9.0 | 9.4 | 9.7 | 8.7 | 9.1 | 9.0 | 9.4 | 9.7 | |
| | 3H | 8.5 | 8.9 | 8.9 | 9.3 | 9.6 | 8.5 | 8.9 | 8.9 | 9.3 | 9.6 | |
| | 4H | 8.4 | 8.8 | 8.8 | 9.2 | 9.5 | 8.4 | 8.8 | 8.8 | 9.2 | 9.5 | |
| | 6H | 8.3 | 8.7 | 8.8 | 9.1 | 9.5 | 8.3 | 8.7 | 8.8 | 9.1 | 9.5 | |
| | 8H | 8.3 | 8.6 | 8.7 | 9.0 | 9.4 | 8.3 | 8.6 | 8.7 | 9.0 | 9.4 | |
| | 12H | 8.2 | 8.5 | 8.7 | 8.9 | 9.4 | 8.2 | 8.5 | 8.7 | 8.9 | 9.4 | |
| 8H | 4H | 8.3 | 8.6 | 8.7 | 9.0 | 9.4 | 8.3 | 8.6 | 8.7 | 9.0 | 9.4 | |
| | 6H | 8.2 | 8.4 | 8.7 | 8.9 | 9.4 | 8.2 | 8.4 | 8.7 | 8.9 | 9.4 | |
| | 8H | 8.1 | 8.4 | 8.6 | 8.8 | 9.3 | 8.1 | 8.4 | 8.6 | 8.8 | 9.3 | |
| | 12H | 8.1 | 8.3 | 8.6 | 8.8 | 9.3 | 8.1 | 8.3 | 8.6 | 8.8 | 9.3 | |
| 12H | 4H | 8.2 | 8.5 | 8.7 | 8.9 | 9.4 | 8.2 | 8.5 | 8.7 | 8.9 | 9.4 | |
| | 6H | 8.1 | 8.4 | 8.6 | 8.8 | 9.3 | 8.1 | 8.4 | 8.6 | 8.8 | 9.3 | |
| | 8H | 8.1 | 8.3 | 8.6 | 8.8 | 9.3 | 8.1 | 8.3 | 8.6 | 8.8 | 9.3 | |
| Variations with the observer position at spacing: | | | | | | | | | | | | |
| S = | 1.0H | | 5.1 | / -10.3 | | | | 5.1 | / -10.3 | | | |
| | 1.5H | | 7.8 | / -15.6 | | | | 7.8 | / -15.6 | | | |
| | 2.0H | | 9.8 | / -20.9 | | | | 9.8 | / -20.9 | | | |